



**Campus Virtual FCEFyN**  
Universidad Nacional de Córdoba

---

# MOTOR DE INDUCIÓN TRIFÁSICO PRINCIPIO DE FUNCIONAMIENTO

---

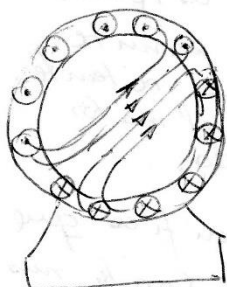
ELECTROTECNIA(IE)



## MOTOR ASÍNCRONICO

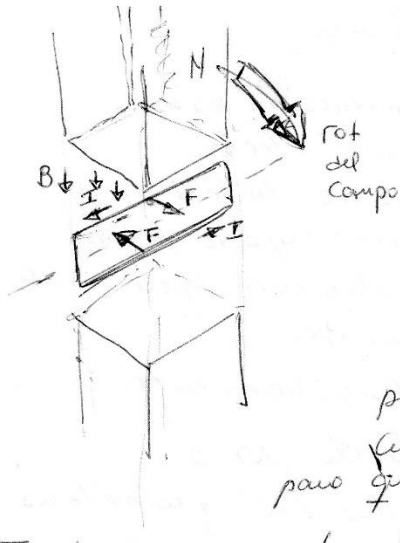
El motor asimétrico trifásico a inducción es un mecanismo al cual ingresa energía eléctrica en forma de un conjunto de corrientes trifásicas y se convierte en energía mecánica bajo la forma de un movimiento giroscópico de velocidad constante variable con la carga aplicada a su eje.

Para explicar su principio de funcionamiento acudimos a un estator constituido por 3 aislamientos que están dispuestos separados  $120^\circ$  geométricos llevando cada uno dos devanados separados  $120^\circ$  geométricos alrededor de la superficie del motor, al cual lo alimentamos con un sistema trifásico de 50 Hz. Alimentando con un sistema trifásico de corrientes, se producirá entonces un campo magnético rotante, al cual lo idealizamos por medio de un polo norte y un polo sur y que gira con una velocidad constante  $N_s$ . La velocidad de rotación sincrónica,  $N_s = \frac{60f}{P}$  [RPM] f = frecuencia P = nº de pares de Polos



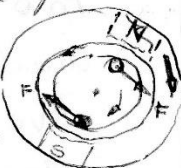
Supongamos que en el espacio afectado por el campo magnético rotante colocamos un conductor rectangular cerrado eléctricamente (en corto circuito) y vinculado mecánicamente a un eje coincidente con el eje del estator, y que presenta el grado de libertad de poder girar alrededor de ese eje normal al campo rotante.

El campo magnético rotante lo hemos representado por medio de dos polos exteriores que quion producirían el flujo magnético  $\Phi$ .

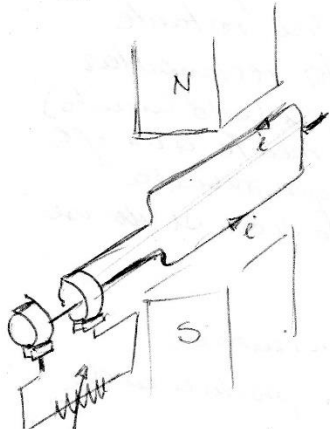


Por el movimiento relativo de la espira con respecto al Campo se induce una fem. en la espira que hace circular una corriente por la misma, cuyo sentido (se determina con la regla de la mano derecha Hor, Ind, Corri) tiende hacer girar la espira en lo mismo del campo.

Debido a la interacción de la corriente con el campo aparece una acción ponderomotriz que determina una fuerza que tiende a hacer girar la espira para que acompañe al campo.



Este esquema ilustra el principio de funcionamiento del motor con rotor en corto circuito, que es el origen del A.A. con rotor en la sala de prueba. En lugar de dejar la espira en corto circuito, a través de la misma se enlaza y conectan sus terminales a dos anillos de cobre, que mediante es cobillas, se conectan con un resorte variable exterior. mediante el ajuste de esta se podrá variar la corriente I que circula por la espira y por consiguiente las características de marcha del motor. En definitiva este sistema es igual al anterior con la diferencia que permite regular la marcha del motor rotante y nos permite controlar el motor sin necesidad de bobinado.



Para ambos ejemplos se verifica que si el rotor permanece a girar con la misma velocidad del campo lo tanto no habrá variación de flujo en la espira, no habrá fem, no habrá corriente, no habrá fuerza y el motor frenará de disminuir su velocidad. Pero al hacerlo se producirá variación de flujo y fuerza que lo hace girar. Por lo tanto la base de la ecuación de la fuerza motriz es la diferencia de velocidad entre el campo de una, fuerza que lo hace girar.

\* esa diferencia de velocidades se le llama velocidad de deslizamiento.

Si a esta velocidad la referimos a la velocidad sincrónica

$$\text{obtenemos el resbalamiento } S\% = \frac{N_s - N}{N_s} \cdot 100$$

siendo  $N$  = Velocidad del rotor y  $N_s$  la velocidad sincrónica

La esencia de la Carga es que se cumple la condición  $N_s > N$

Hallaremos la expresión de la Carga

El flujo máximo que alcanza a concatenar la espira corresponde a instantes en que el campo magnético es normal al plano de la espira. Su valor está dado por

$$\Phi_m = \mu H_a b$$

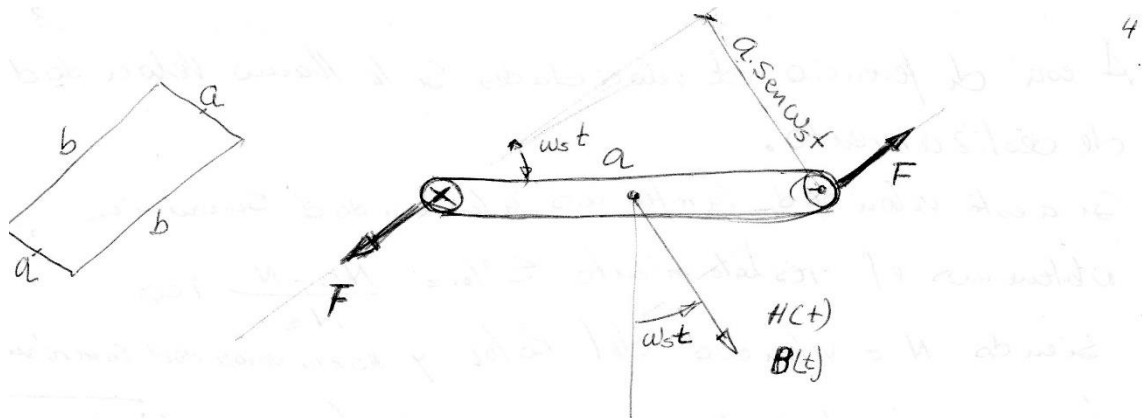
siempre suponiendo a la espira fija, el flujo concatenado por la espira va a variar en el tiempo con ley cosinoidal

$\Phi(t) = \Phi_m \cos \omega t$ . por la ley de Faraday  
la variación de flujo origina una f.e.m. inducida en la espira que es proporcional a la velocidad de variación del flujo y con el signo dado por la ley de Lenz

$$e(t) = - \frac{d\Phi(t)}{dt} = \omega_s \Phi_m \operatorname{Sen} \omega t$$

a f.e.m. hace circular por la espira cerrada que como espira eléctrica presenta una  $R$  y una autoinducción  $L$ , la corriente  $i(t)$ .

$$i(t) = \frac{e(t)}{Z \cdot \varphi} = \frac{\omega_s \Phi_m \operatorname{Sen}(\omega t - \varphi)}{\sqrt{R^2 + \omega_s^2 L^2}} \quad \varphi = t_0^{-1} \frac{\omega_s L}{R}$$



Debido a la acción del campo magnético rotante aparecen fuerzas sobre los conductores. Dado que las fuerzas que actúan sobre los conductores  $a$  son absorbidas por el vínculo, solo se tendrán en cuenta las fuerzas que actúan sobre los lados activos  $b$ .

La dirección de las fuerzas son las indicadas en la figura ya que por la ley de Laplace  $\vec{F} = b(i \wedge \vec{B})$  es decir la fuerza es proporcional a la intensidad de la corriente, a la inducción  $B$  y a la longitud del conductor  $b$ , con un sentido dado por la palma de la mano derecha.

$$F(t) = i(t) \cdot b \cdot B = \frac{b \cdot B \cdot w_s \Phi_m}{\sqrt{R^2 + w_s^2 L^2}} \sin(wst - \varphi)$$

Las dos fuerzas constituyen una pareja que produce un momento torsor con respecto al centro de la espira que actúa en el sentido del giro del campo. Para Hallar el módulo de la pareja tendremos que encontrar la expresión de la pareja motriz instantánea, que será igual al producto de uno de las fuerzas  $F$  por el brazo de par que corresponde.

$$C_m(t) = F(t) \cdot a \cdot \sin wst = \frac{w_s \Phi_m a \cdot b \cdot B}{\sqrt{R^2 + w_s^2 L^2}} \sin(wst - \varphi) \sin a$$

$$\text{como } ab = \text{Área de la espira} \quad \text{y} \quad \Phi_m = B \cdot a \cdot b$$

$$C_m(t) = \frac{w_s \Phi_m^2}{\sqrt{R^2 + w_s^2 L^2}} \cdot \sin(wst - \varphi) \cdot \sin wst$$

El hecho de que esta esta cople no sea instantánea no significa que el sistema gire, por eso debemos ver si hay algún valor promedio en el tiempo que actúe si existe en el mismo sentido.

Como

$$\begin{aligned}\operatorname{Sen} \omega s t \cdot \operatorname{Sen}(\omega s t - \varphi) &= \frac{1}{2} [\cos(\omega s t - \omega s t + \varphi) - \cos(\omega s t + \omega s t - \varphi)] \\ &= \frac{1}{2} [\cos \varphi - \cos(2\omega s t - \varphi)]\end{aligned}$$

reemplazando en la expresión de la cople instantánea se tiene

$$C_m(t) = \frac{1}{2} \frac{\omega_s \Phi_m^2}{\sqrt{R^2 + (\omega_s L)^2}} \cos \varphi - \frac{1}{2} \frac{\omega_s \Phi_m^2}{\sqrt{R^2 + (\omega_s L)^2}} \cos(2\omega s t - \varphi)$$

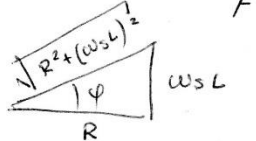
Esta expresión es compuesta por dos términos, uno independiente del tiempo y otro que varía en el tiempo con ley sinusoidal y una frecuencia doble del valor de red.

Esta fluctuación no se produce en movimiento porque es absorbido por el momento de inercia que tiene la parte móvil.

De manera que lo que corresponde a la cople motora es el valor de la cople media que determinamos

$$\bar{C}_m = \frac{1}{T} \int_0^T C_m(t) dt = \frac{1}{2} \frac{\omega_s \Phi_m^2}{\sqrt{R^2 + (\omega_s L)^2}} \cdot \cos \varphi$$

donde el ángulo  $\varphi$  es el argumento de la impedancia del circuito  $R-L$  que constituye la espira cortocircuitada



$$\cos \varphi = \frac{R}{\sqrt{R^2 + (\omega_s L)^2}}$$

reemplazando en la

presión de la cople motora media

$$\bar{C}_m = \frac{1}{2} \frac{\omega_s \Phi_m^2}{\sqrt{R^2 + (\omega_s L)^2}} \cdot \frac{R}{\sqrt{R^2 + (\omega_s L)^2}} = \frac{1}{2} \frac{\omega_s \Phi_m^2 R}{(R^2 + (\omega_s L)^2)}$$

Se observa que la Cepa promedio actua en un sentido determinado y que si es mayor que la Cepa resistente dara origen al movimiento.

El razonamiento que se ha hecho es para una espira detenida frente al campo rotante; pero en realidad este no permanece detenido, sino que rota con el campo.

Apenas empieza a rotar la espira, como el campo no tan le gira a una velocidad ws constante, la posición relativa del campo con respecto a la espira no vendrá dada por  $w_s t$ , sino que habrá que tener en cuenta ese movimiento relativo del campo con respecto a la espira.

Suponiendo que la espira gire con una velocidad también constante que designamos con  $\omega$ , todo el razonamiento que hemos realizado podría repetirse y formarse como válido si se sustituye en la expresión de la Cepa media a la velocidad absoluta del campo rotante  $w_s$  por la velocidad de rotación relativa del campo respecto a la espira es decir  $w_R = w_s - \omega$ , porque sería exactamente el razonamiento que haría un observador que acompaña a la espira en su movimiento.

A esta velocidad relativa se la llama velocidad angular de deslizamiento del campo respecto a la espira.

Como  $w_s$  y  $\omega$  son constantes  $w_R$  también lo sera y por lo tanto la Cepa media sera

$$\bar{C}_m = \frac{1}{2} \cdot \frac{w_R \Phi_m^2 R}{R^2 + (w_R L)^2}$$

Analicemos la expresión de  $\bar{C}_m$  ya que en todo motor interesa determinar las características externas de la máquina que son la Carga y la Velocidad de giro.

El gráfico a analizar nos vincula la Variación de la Carga motora media en función de la Velocidad de giro del motor. El producto de estos dos factores nos da la potencia mecánica de Salida del motor.

La Vinculación de  $\bar{C}_m$  con  $\omega$  la obtenemos si Sustituimos  $\omega_R$  por  $\omega_s - \omega_0$  en la expresión.

Primero representaremos  $\bar{C}_m$  en función de  $\omega_R$  y después mediante un cambio en la orientación del eje de abeja pasamos al gráfico definitivo.

Supongamos un crecimiento de  $\omega_R$  positivo hacia la izquierda a partir de cero, con el propósito de que cuando cambiamos  $\omega$  por  $\omega_R$  el crecimiento de  $\omega$  sea en forma convencional.

Observemos cuáles es el Campo de Variación de las Variables  $\omega$  y  $\omega_R$  con Significado Físico.

Análiticamente  $\omega$  podría variar de  $-\infty$  a  $+\infty$  pero para que haya Carga  $\omega < \omega_s$  como límite podría ser igual. Como la espira es arrastrado por el campo es evidente que no va a girar con velocidad mayor que este.

Si  $\omega > \omega_s$ ,  $\omega_R$  sería negativo y la Carga también, por lo que se produce un efecto de frenado.

Este no es una condición normal de funcionamiento.

Vemos tambien que  $\omega > 0$  porque el rotor es arrastrado por el Campo. Imaginar situaciones en que  $\omega < 0$  implica que la espira gire en sentido contrario al Campo, pero esta condición no es una condición normal de funcionamiento, por lo tanto

$$\boxed{0 \leq \omega \leq \omega_s}$$

De esto se deduce que los límites establecidos para  $\omega_R$  corresponden  $0 \leq \omega_R \leq \omega_s$ .

Observando la expresión de la  $\bar{C}_m$

$$\bar{C}_m = \frac{1}{2} \frac{\omega_R \Phi_m^2 R}{R^2 + \omega_R^2 L^2} \quad \text{Vemos} \quad \begin{cases} \omega_R = 0 \Rightarrow \bar{C}_m = 0 \\ \omega_R = \infty \Rightarrow \bar{C}_m = 0 \end{cases}$$

La función  $\bar{C}_m$  pasa por los valores nulos para los valores de la variable independiente; por lo tanto de acuerdo con el teorema de Rolle en algún punto intermedio, la función pasa por un máximo o mínimo. En nuestro caso sería un máximo y para ubicarlo

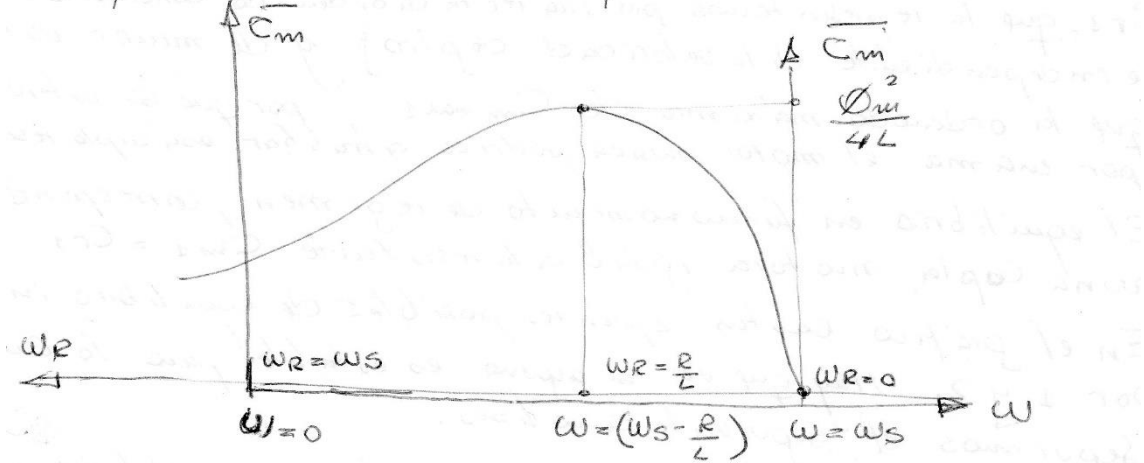
$$\frac{d \bar{C}_m}{d \omega_R} = \frac{2(R^2 + \omega_R^2 L^2) \Phi_m^2 R - \Phi_m^2 R \cdot \omega_R \cdot 2 \omega_R \cdot L^2}{4(R^2 + \omega_R^2 L^2)^2} = 0 \quad \text{de donde}$$

$$R^2 + \omega_R^2 L^2 - 2 \omega_R^2 L^2 = 0 \Rightarrow \boxed{\omega_{R \max} = \frac{R}{L}}$$

esta es la abcisa del máximo. Reemplazando este valor en la expresión de  $\bar{C}_m$  tendremos la ordenada del máximo.

$$\bar{C}_{m \max} = \frac{1}{2} \frac{\frac{R}{L} \Phi_m^2 R}{R^2 + \frac{R^2}{L^2} \cdot L^2} = \frac{1}{4} \frac{\Phi_m^2}{L} \Rightarrow \boxed{\bar{C}_{m \max} = \frac{1}{4} \frac{\Phi_m^2}{L}}$$

Graficemos la  $C_m$  en función de  $\omega_R$



E/campo de Variación de  $\omega_R$   $0 \leq \omega_R \leq \omega_s$

A cada valor de  $\omega_R$ , como  $\omega_s$  es constante / e  
Corresponde un valor de  $\omega$ .

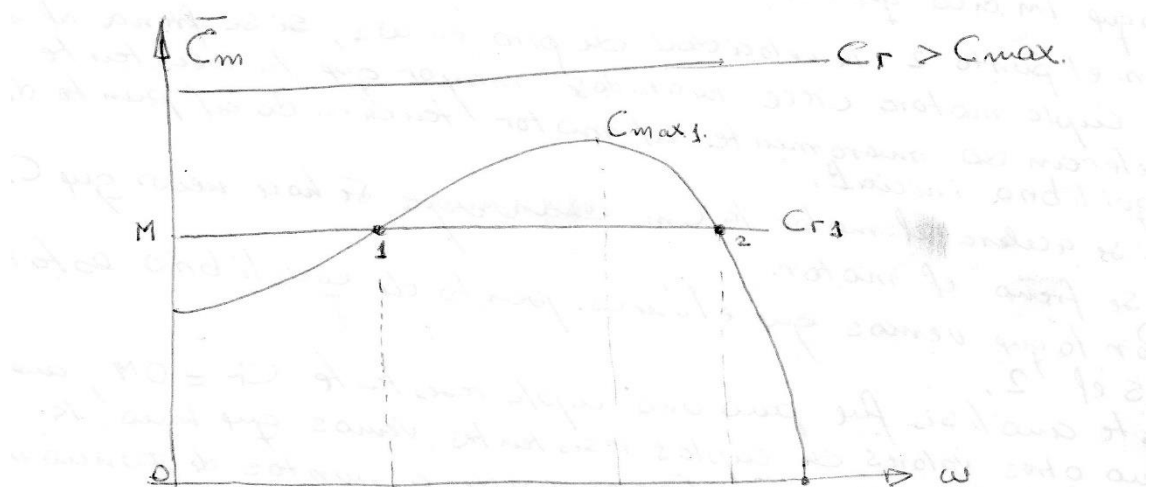
$\omega_R = \omega_s \rightarrow \omega = 0$  rotor detenido

$\omega_R = 0 \rightarrow \omega = \omega_s$  sincronismo

$\omega = 0$  representa las condiciones de arranque, es di  
cuando el valor este detenido.

Con estas condiciones podemos pasar al gráfico.

$$\bar{C}_m = f(\omega)$$



Compararemos la curva motora  $C_{mz}$  con una curva constante  $C_{rs}$  que la representamos por una recta de ordenada constante (e independiente de la velocidad de giro) y de menor valor que la ordenada máxima de  $C_{mz}$ , por que si esto fuese por ejemplo el motor nunca podría alcanzar esa curva resistente. El equilibrio en funcionamiento de régimen, corresponde a una curva motora igual a la resistente  $C_{mz} = C_{rs}$ . En el gráfico existen 2 puntos posibles de equilibrio indicados por 1 y 2. Hay que ver si alguno es estable para lo analizaremos el siguiente análisis.

Seguiremos el siguiente análisis:

Separamos al sistema de la condición de equilibrio y

separamos como reacciona.

Observamos como reacciona.

- a) Si la reacción representa una vuelta a la condición inicial el equilibrio es estable
- b) Si la reacción del sistema es tal que tiende a alejarse aún más de las condiciones iniciales el equilibrio es inestable.

En el punto 1 tenemos que la velocidad de giro es  $\omega_1$

Si se frena al motor la curva motora  $C_{mz}$  disminuye

frenándose aún más alejándose de la posición de equilibrio

Si se aumenta la velocidad de giro vemos que  $C_{mz}$  se hace más grande aumentando más la velocidad de giro.

Lo que indica que el punto 1 es de equilibrio inestable.

En el punto 2 la velocidad de giro es  $\omega_2$ , si se frena al motor

la curva motora crece haciendo mayor que la resistente

se hace nuevo que  $C_{rs}$  aceleran de inmediato al motor tiendiendo al punto de equilibrio inicial.

Si se acelera el motor la  $C_{mz}$  se hace menor que  $C_{rs}$

y se frena el motor.

Por lo que vemos que el único punto de equilibrio estable es el 2.

Este análisis fue para una curva resistente  $C_{rs} = 0M$ , aunque para otros valores de curvas resistentes vemos que hacia la derecha de  $C_{mz}$  no es correspondiente a puntos de funcionamiento estable.

Observando el diagrama vemos que  $C_m$  es menor que  $C_r$  en el arranque, lo que impediría que el motor desamane.

Si observamos las características del motor vemos que la abscisa  $w = (w_s - R/L)$  depende de la resistencia del circuito eléctrico del rotor, en tanto que el valor de la ordenada de la curva media máxima  $C_{m \text{ max}} = \frac{1}{4} \frac{Q_m}{L}$  es independiente de esa resistencia. Esto nos indica la posibilidad de desplazar la abscisa sin variar la ordenada, es decir modificando la resistencia eléctrica del circuito del rotor podemos variar la velocidad a la cual se produce el máximo.

Incrementando  $R$  podemos llamar el punto  $S$  al origen haciendo que la curva en el arranque sea máxima. A continuación la resistencia del rotor mediante un control de freno, abrimos la espira y a través de ampollos de contacto sobre los cuales les apoyan los escobillas intercalamos una resistencia variable  $R_a$ .

Entonces la abscisa del máximo es  $w = \frac{w_s - (R + R_a)}{L}$ .

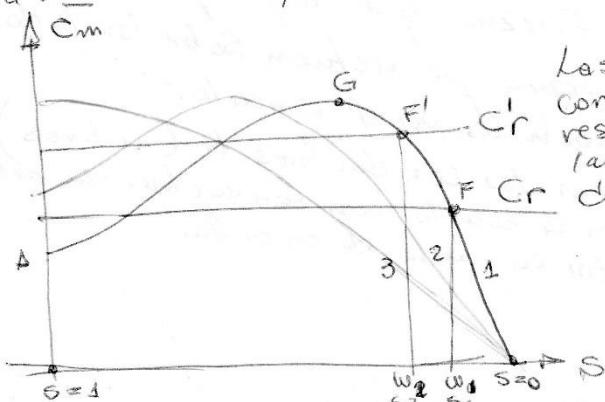
Si modificamos  $R_a$  podemos llamar la abscisa  $L$  del

máximo al valor que deseamos.

Otra variante es representar la  $C_m$  en función del resoplamiento.

$$S = \frac{w_s - wR}{ws}$$

Las diversas curvas corresponden a distintas resistencias rotóricas y son representaciones gráficas.  
(así representación gráfica)



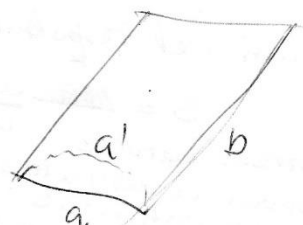
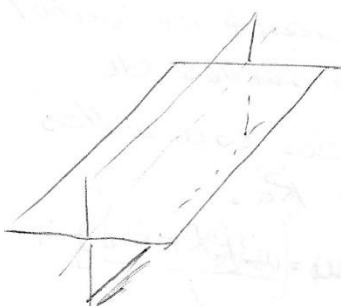
Suponemos que el motor debe proporcionar una  
Carga resistente constante  $C_r$

En la intersección F se localizará el funcionamiento  
a la velocidad  $\omega_1$  adoptando una resistencia rotatoria  
que corresponde a la Curva 1  $R_2 = R + R_a$

Si el mecanismo exige más carga por ej  $C_r'$   
el funcionamiento se localizará en F' a la velocidad  
algo menor.

A aumentos de carga la máquina responde  
de igual forma hasta el valor máximo de carga.  
De G a A el funcionamiento es inestable.

La carga que hemos calculado corresponde a una sola espira  
para aumentar la potencia mecánica se multiplican  
el número de espiras, considerando espiras en planos  
verticales, a  $45^\circ$  etc.

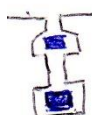


Se observa que el lado a cumple  
la función de unir los lados b,  
entonces no es necesario que los  
los lados a estén en el mismo  
plano que los b y podrían tener  
la forma de a', que deben  
cumplir con la condición de  
estar en planos normales  
a los b para que no haya  
fuerzas y se cumpla que las  
fuerzas que actúan sobre los lados  
a sean absorbidas por el vinculo.

Esto nos lleva a unir los conductores b (activos)  
en un anillo en lugar de hacerlo con conductores de retorno  
introduciendo un imán en jaula de ardilla.

Las estás maniobras son posibles en los motores rotor bobinado. Pero como controlar la curva en motores con rotor a jaula de ardilla.

En consigue en motores a doble jaula o ranura profunda también de los mismos de alta curva de arranque, que atan de topar las curvas de los frenos normales. De los no a rotor bobinado.



La jaula exterior es de alta resistencia y baja reactancia y la interior de baja resistencia y alta reactancia.

En el arranque  $s=1 \Rightarrow f_2 = f_1$ , la corriente  $I_{2s}$  establece preferentemente por la jaula exterior.

En el motor tiene velocidad baja la frecuencia  $f_2$  del rotor donde el motor tiene velocidad baja la frecuencia  $f_2$  del rotor la reactancia inferior disminuye y actúa preferentemente su resistencia menor.

Motores con ranura profunda son más económicos y tienen baja el mismo principio. donde la parte propia de comporta como la jaula interior.

